

A FIRST COURSE IN NUMERICAL METHODS

CAPÍTULO 11 - INTERPOLAÇÃO POR PARTES

- métodos robustos para a interpolação de funções que funcionam até quando o número de pontos é grande, ou quando as localizações das abscissas não estão em nosso controle, ou quando o intervalo da função aproximada é grande.

SEÇÃO 11.1 - O CASO PARA INTERPOLAÇÃO POR PARTES

- consideramos a interpolação de $n+1$ pontos

$$(x_0, y_0), (x_1, y_1), \dots, (x_n, y_n)$$

que procura uma função que satisfaça

$$v(x_i) = y_i, \quad i = 0, 1, \dots, n$$

- também continuamos considerando uma função subjacente $f(x)$ que deve ser aproximada em um intervalo $[a, b]$ contendo a abscissa x_i .
- a função $f(x)$ é desconhecida, exceto por seus valores $f(x_i) = y_i, i = 0, 1, \dots, n$.
- apenas consideramos interpolantes em forma linear que podem ser escritos como:

$$v(x) = \sum_{j=0}^n c_j \phi_j(x)$$

onde $\phi_j(x)$ são funções bases dadas e c_j são coeficientes desconhecidos a serem determinados.

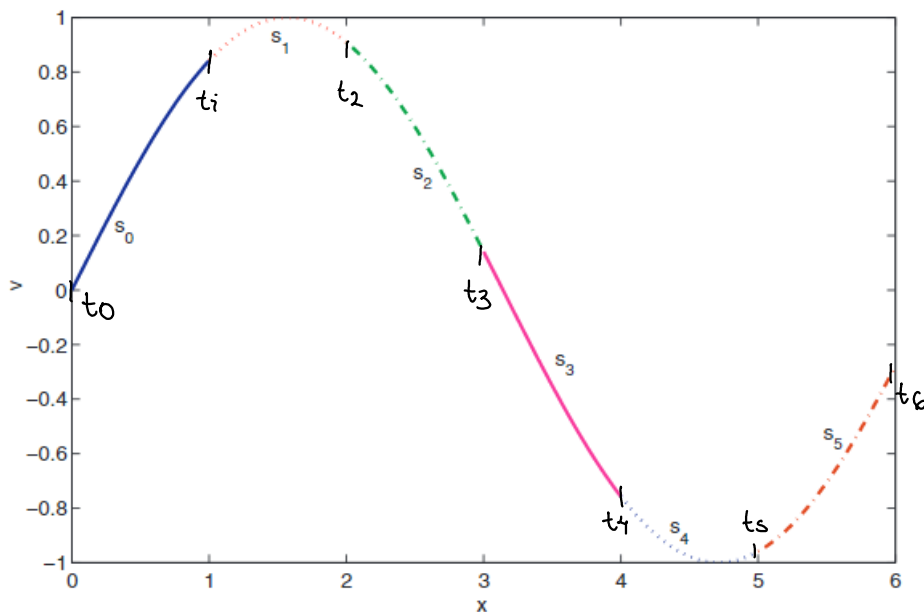
INSUFICIÊNCIAS DA INTERPOLAÇÃO POLINOMIAL

Um interpolante da forma discutida no cap 10 nem sempre é adequado pelos seguintes motivos:

- O erro $f(x) - p_n(x)$ pode não ser pequeno.
- Polinômios de ordem grande tendem a oscilar "irracionalmente".
- As derivadas de ordem grande podem explodir, o que produz um erro grande.
- "Sem localidade": alterar qualquer valor de dados pode alterar drasticamente todo o interpolador.

INTERPOLAÇÃO POR PARTES

- devemos encontrar uma maneira de reduzir o termo do erro sem aumentar o grau n , fazemos isso diminuindo o tamanho do intervalo $b-a$. Assim, recorremos ao uso de partes do polinômio apenas localmente.
- Globalmente, usamos a **interpolação polinomial por partes**. Assim, dividimos o intervalo em vários subintervalos menores (ou elementos) pela partição $a = t_0 < t_1 < \dots < t_n = b$ e usamos uma interpolação polinomial (grau relativamente baixo) em cada um desses subintervalos $[t_i, t_{i+1}]$, $i = 0, \dots, n-1$.
- Essas partes do polinômio, $s_i(x)$, são então remendadas para formar uma curva $v(x)$ de interpolação global contínua (ou C^1 ou C^2) que satisfaz $v(x) = s_i(x)$, $t_i \leq x \leq t_{i+1}$, $i = 0, \dots, n-1$.
- Os pontos t_0, t_1, \dots, t_n são chamados de **break points**.



SEÇÃO 11.2 - INTERPOLAÇÃO BROKEN LINE (LINEAR) E HERMITE POR PARTES

INTERPOLAÇÃO LINEAR (BROKEN LINE)

O exemplo mais simples de interpolação polinomial contínua por partes é linear por partes. Assim, as partes polinomiais são lineares e o interpolador linear por partes é contínuo (mas não continuamente diferenciável) em todos os lugares.

• EXEMPLO 11.1.

Um exemplo de interpolação linear é fornecido pela figura:

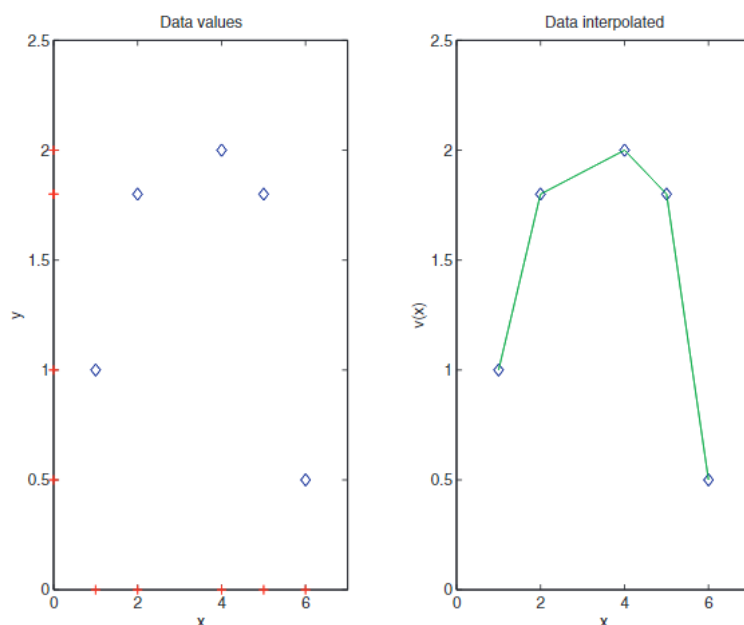


Figure 11.2. Data and their broken line interpolation.

Consiste simplesmente em conectar valores de dados por linhas retas. Pela fórmula de Newton para um interpolador polinomial linear, podemos escrever:

$$v(x) = v_i(x) = f(x_i) + f[x_i, x_{i+1}](x - x_i), \quad x_i \leq x \leq x_{i+1}, \quad 0 \leq i \leq 4$$

Uma grande vantagem da interpolação linear por partes, além de sua óbvia simplicidade, é que os valores de máximo e mínimo estão nos pontos: nenhum novo ponto extremo é “inventado” pelo interpolante, o que é importante para uma rotina black-box de interpolação de propósito geral.

O MATLAB usa essa interpolação como a opção padrão para plotagem.

LIMITE DE ERRO (ERROR BOUND) PARA INTERPOLAÇÃO POR PARTES LINEAR

Continuando com a notação do exemplo 11.1, seja $n = r$, $t_i = x_i$ e

$$h = \max_{1 \leq i \leq r} (t_i - t_{i-1})$$

não é difícil mostrar que o erro para interpolação linear é limitado por

$$|f(x) - v(x)| \leq \frac{h^2}{8} \max_{a \leq \xi \leq b} |f''(\xi)|$$

para qualquer x no intervalo $[a, b]$. De fato, para qualquer $x \in [a, b]$ existe um índice i , $1 \leq i \leq r$ tal que $t_{i-1} \leq x \leq t_i$. O interpolador é linear neste subintervalo, então aplicando a fórmula de erro da seção 10.5 para interpolação polinomial a este segmento linear, temos

$$f(x) - v(x) = \frac{f''(\xi)}{2!} (x - t_{i-1})(x - t_i)$$

$$|f(x) - v(x)| = \frac{|f''(\xi)|}{2!} (x - t_{i-1})(x - t_i) \leq \frac{h^2}{8} \max_{a \leq \xi \leq b} |f''(\xi)|$$

Assim, pelo menos para pontos de dados igualmente espaçados, à medida que n aumenta o erro diminui, à taxa $O(h^2) = O(n^{-2})$

Observe que n não é mais o grau das partes do polinômio.

INTERPOLAÇÃO POR PARTES CONSTANTE

Frequentemente, os break points t_i são os dados pontos da abscissa x_i , ordenados em ordem crescente, caso em que temos $r = n$. Tal é o caso da interpolação linear por partes.

Uma exceção simples é a interpolação constante por partes: não sabemos nada sobre a "suavidade" de f - nem mesmo se for contínua - podemos querer construir a aproximação mais simples, e uma dessas é dada por:

$$v(x) = v_i(x) = f(x_i), \quad t_i \leq x \leq t_{i+1}$$

no qual $t_i = \frac{1}{2}(x_i + x_{i+1})$, $i = 1, 2, \dots, n$

$$t_0 = a \leq x_0$$

$$t_r = b \leq x_n$$

$$r = n + 1$$

INTERPOLAÇÃO POR PARTES CÚBICA

Mas a interpolação linear por partes geralmente não é suave o suficiente. (Com certeza, o que é "suficiente" depende da aplicação). Da figura 11.2 fica claro que esse interpolante tem primeiras derivadas descontínuas nos pontos dados.

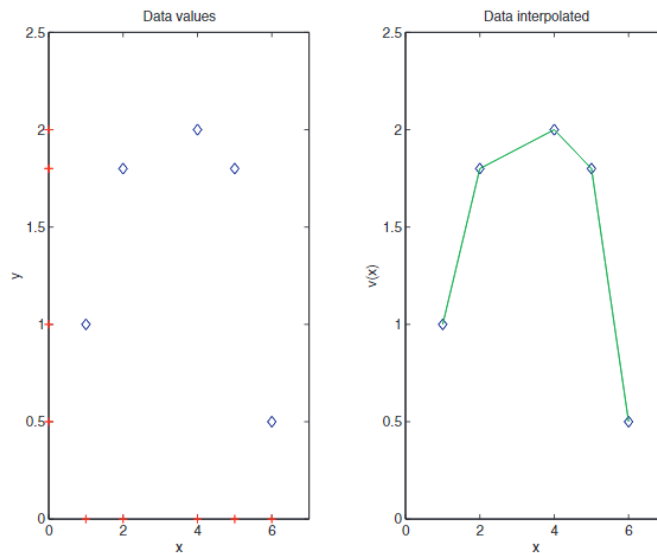


Figure 11.2. Data and their broken line interpolation.

Para ter mais suavidade, digamos, C^1 ou C^2 , devemos aumentar o grau de cada peça polinomial.

A interpolação polinomial por partes mais popular é com cúbicos. Aqui podemos escrever:

$$v(x) = s_i(x) = a_i + b_i(x - t_i) + c_i(x - t_i)^2 + d_i(x - t_i)^3,$$

$$t_i \leq x \leq t_{i+1}, \quad i = 0, \dots, r-1$$

Claramente, nós temos $4r$ incógnitas (coeficientes). Para fixar esses parâmetros, precisamos de 4 condições algébricas. Existem dois tipos de condições:

- condições de interpolação
- condições de continuidade

No caso linear por partes, essas condições são dadas:

$$s_i(t_i) = f(t_i), \quad s_i(t_{i+1}) = f(t_{i+1}), \quad i = 0, 1, \dots, r-1$$

no qual $t_i = x_i$, $i = 0, 1, \dots, r$. Isso fornece $2r$ condições, que esgotam toda a liberdade que temos no caso linear por partes porque

temos apenas 2x coeficientes para determinar. A continuidade está implícita em $v_i(t_{i+1}) = f(t_{i+1}) = v_{i+1}(t_{i+1})$. Mas no caso cúbico por partes podemos impor 2x condições adicionais. Agora, procuramos uma maneira de fazer isso, que mantém o "charme" da construção local.

Outra maneira importante de definir essas condições é considerada na seção 11.3

INTERPOLAÇÃO DE HERMITE CÚBICA POR PARTES

O caso mais simples, ou mais limpo, é onde também são fornecidos valores de $f'(t_i)$. Assim, $n+1 = 2(x+1)$ e as abscissas são:

$$(x_0, x_1, x_2, \dots, x_{n-1}, x_n) = (t_0, t_0, t_1, t_1, \dots, t_x, t_x)$$

A correspondência destes fornece precisamente mais 2x condições, escritas como:

$$v_i'(t_i) = f'(t_i), \quad v_i'(t_{i+1}) = f'(t_{i+1}), \quad i = 0, 1, \dots, x-1$$

Esta é a interpolação de Hermite cúbica por partes. Observe que $v(x)$ está claramente em C^1 , ou seja, tanto v quanto v' são contínuos em todos os lugares.

Esse interpolador pode ser construído localmente, parte por parte, aplicando o algoritmo de interpolação osculante da Seção 10.7 para o polinômio cúbico em cada subintervalo separadamente.

Especificamente, para qualquer x no subintervalo $[t_i, t_{i+1}]$ o interpolador $v(x)$ coincide com o correspondente polinômio cúbico de Hermite $v_i(x)$ neste intervalo, dado explicitamente por:

$$v_i(x) = f_i + (h_i f_i') \tau + (3(f_{i+1} - f_i) - h_i(f_{i+1}' + 2f_i')) \tau^2 + (h_i(f_{i+1}' + f_i') - 2(f_{i+1} - f_i)) \tau^3$$

no qual $h_i = t_{i+1} - t_i$, $f_i = f(t_i)$, $f_i' = f'(t_i)$, $\tau = \frac{x - t_i}{h_i}$

Observe também que alterar os dados em um ponto de dados altera o valor do interpolante apenas nos dois subintervalos associados a este ponto.

ERROR BOUND PARA INTERPOLAÇÃO HERMITE CÚBICA POR PARTES

TEOREMA: Erro da Interpolação Polinomial por Partes

Seja $v(x)$ o interpolador de $f(x)$ nos $n+1$ pontos $x_0 < x_1 < \dots < x_n$.

Defina $h = \max_{1 \leq i \leq n} (x_i - x_{i-1})$ e assumamos que $f(x)$ tenha quantas derivadas forem necessárias no intervalo $[a, b]$ que contém x_i , $i = 0, \dots, n$.

Então usando uma interpolação local linear, constante ou Hermite cúbica, para cada $x \in [a, b]$ o erro bound da interpolação é:

- $|f(x) - v(x)| \leq \frac{h}{2} \max_{a \leq \xi \leq b} |f'(\xi)|$ constante por partes
- $|f(x) - v(x)| \leq \frac{h^2}{8} \max_{a \leq \xi \leq b} |f''(\xi)|$ linear por partes
- $|f(x) - v(x)| \leq \frac{h^4}{384} \max_{a \leq \xi \leq b} |f'''(\xi)|$ Hermite cúbica por partes

SEÇÃO 11.3 - SPLINE CÚBICA

A principal desvantagem de trabalhar com Hermite cúbica por partes é que precisamos de valores para $f(t_i)$, o que é pedir muito, especialmente quando não há f , apenas valores de dados discretos. Outra desvantagem potencial é que existem muitas aplicações em que um requisito geral C^1 não fornece suavidade suficiente.

Suponha que temos apenas valores de dados (x_i, y_i) , $i = 0, \dots, n$, onde $x_0 < x_1 < \dots < x_{n-1} < x_n$ são distintos e $y_i = f(x_i)$ para alguma função f que pode não estar explicitamente disponível. Defina também $a = x_0$ e $b = x_n$.

Identificamos x_i com os breakpoints t_i e $n = x$. Tendo usado $2n$ parâmetros para satisfazer as condições de interpolação por um interpolador contínuo, agora usamos os $2n$ parâmetros restantes para exigir que $v(x) \in C^2[a, b]$. O resultado é muitas vezes referido como uma spline cúbica.

Assim, as condições a serem satisfeitas pela spline cúbica são:

$$s_i(x_i) = f(x_i), \quad i = 0, \dots, n-1 \quad 11.1a$$

$$s_i(x_{i+1}) = f(x_{i+1}), \quad i = 0, \dots, n-1 \quad 11.1b$$

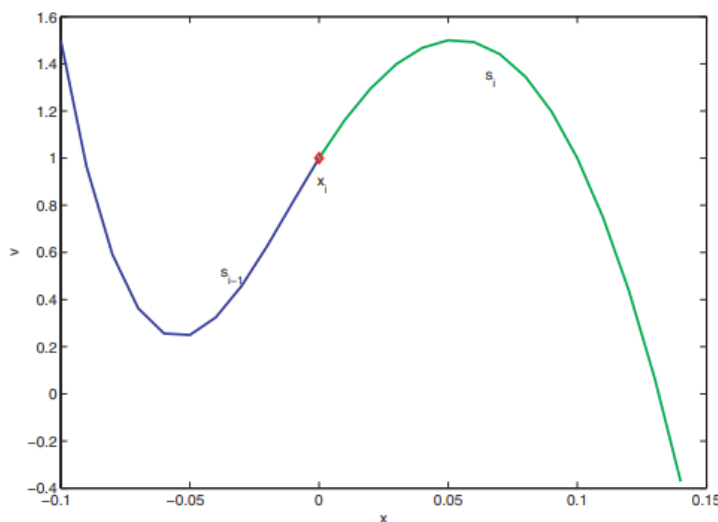
$$s_i'(x_{i+1}) = s_{i+1}'(x_{i+1}), \quad i = 0, \dots, n-2 \quad 11.1c$$

$$s_i''(x_{i+1}) = s_{i+1}''(x_{i+1}), \quad i = 0, \dots, n-2 \quad 11.1d$$

Note que as condições de correspondência são aplicadas apenas nas abscissas internas, não incluindo o primeiro e o último pontos. Por esta razão, existem apenas $n-1$ dessas condições para a primeira e segunda derivadas.

EXEMPLO. considere os dados:

i	0	1	2
x_i	0.0	1.0	2.0
$f(x_i)$	1.1	0.9	2.0



- observe que $n = 2$, assim, temos três pontos de dados e apenas um break point em $x_1 = 1.0$

A spline cúbica interpoladora é escrita como:

$$v(x) = \begin{cases} s_0(x) = a_0 + b_0(x - 0.0) + c_0(x - 0.0)^2 + d_0(x - 0.0)^3, & x < 1.0 \\ s_1(x) = a_1 + b_1(x - 1.0) + c_1(x - 1.0)^2 + d_1(x - 1.0)^3, & x > 1.0 \end{cases}$$

Agora devemos determinar os oito coeficientes $a_0, b_0, c_0, d_0, a_1, b_1, c_1$ e d_1 .

As condições de interpolação (11.1a) e (11.1b), avaliadas em suas extremidades $i = 0$, dão

$$1.1 = v(0.0) = s_0(0.0) = a_0$$

$$0.9 = v(1.0) = s_1(1.0) = a_1$$

que determinam $a_0 = 1.1$ e $a_1 = 0.9$

Avaliando essas duas condições em $i = 1$, temos também

$$0.9 = v(1.0) = s_0(1.0) = 1.1 + b_0 + c_0 + d_0$$

$$2.0 = v(2.0) = s_1(2.0) = 0.9 + b_1 + c_1 + d_1$$

Assim, temos duas relações entre os seis coeficientes restantes. Observe como igualar $s_0(1.0)$ e $s_1(1.0)$ ao mesmo valor de $f(1.0)$ implica continuidade do interpolante construído $v(x)$.

Em seguida, avaliemos (11.1c) e (11.1d) em $i = 0$ (o único valor de i para o qual eles são definidos aqui), ou seja, especificamos que também $s_0'(x_1) = s_1'(x_1)$ e $s_0''(x_1) = s_1''(x_1)$, onde $x_1 = 1.0$. Isto dá

$$b_0 + 2c_0 + 3d_0 = b_1$$

$$2c_0 + 6d_0 = 2c_1$$

No total, então, temos quatro equações para os seis coeficientes b_0, b_1, c_0, c_1, d_0 e d_1 . Exigimos mais duas condições para completar as especificações de $v(x)$:

DUAS CONDIÇÕES ADICIONAIS

No total, acima existem $4n - 2$ condições para 4 incógnitas, então ainda temos duas condições para especificar. Especificamos uma em cada um dos limites x_0 e x_n :

1. opção 1: uma escolha popular é a de free boundary ou spline natural

$$v''(x_0) = v''(x_n) = 0$$

Essa condição é um tanto arbitrária, porém, e pode causar deteriorização geral na qualidade da aproximação porque não há razão a priori para supor que f também desaparece nos pontos finais.

2. opção 2: se $f'(x_0)$ e $f'(x_n)$ são conhecidas, podemos impor (damped boundary):

$$v'(x_0) = f'(x_0), \quad v'(x_n) = f'(x_n)$$

O interpolador resultante também é conhecido como spline completo.

3. opção 3: not-a-knot. Na ausência de informações sobre as derivadas de f nas extremidades, usamos os dois parâmetros restantes para garantir a continuidade da terceira derivada do interpolador spline nos break points internos mais próximos, x_1 e x_{n-1} .

Ao contrário das condições free boundary, a not-a-knot não requer que o interpolador satisfaça algo que a função interpolada não satisfaça, portanto, a qualidade do erro não se deteriora.

$$v_0'''(x_1) = v_1'''(x_1)$$

$$v_{n-2}'''(x_{n-1}) = v_{n-1}'''(x_{n-1})$$

PROPIEDADES

Interpolant	Local?	Order	Smooth?	Selling features
Piecewise constant	yes	1	bounded	Accommodates general f
Broken line	yes	2	C^0	Simple, max and min at data values
Piecewise cubic Hermite	yes	4	C^1	Elegant and accurate
Spline (not-a-knot)	not quite	4	C^2	Accurate, smooth, requires only f data

CAPÍTULO 14 - DIFERENCIAÇÃO NUMÉRICA

SEÇÃO 14.1 - FÓRMULAS DERIVADAS DE SÉRIES DE TAYLOR

1. Two - points formula

$$f'(x_0) = \frac{f(x_0) - f(x_0 - h)}{h} + \frac{h}{2} f''(\xi), \quad x_0 - h \leq \xi \leq x_0$$

2. Three point formulas

a) centered formula

$$f'(x_0) = \frac{f(x_0 + h) - f(x_0 - h)}{h} - \frac{h^2}{6} f'''(\xi), \quad x_0 - h \leq \xi \leq x_0 + h$$

b) higher order one sided formula

$$f'(x_0) = \frac{1}{2h} (-3f(x_0) + 4f(x_0 + h) - f(x_0 + 2h)) + \frac{h^2}{3} f'''(\xi), \quad x_0 \leq \xi \leq x_0 + 2h$$

3. Five point formula

$$f'(x_0) \approx \frac{1}{12h} (f(x_0 - 2h) - 8f(x_0 - h) + 8f(x_0 + h) - f(x_0 + 2h))$$

erro: $e(h) = \frac{h^4}{30} f^{(5)}(\xi)$

4. Three point formula for the second derivative

$$f''(x_0) = \frac{1}{h^2} (f(x_0 - h) - 2f(x_0) + f(x_0 + h)) - \frac{h^2}{12} f^{(4)}(\xi), \quad x_0 - h \leq \xi \leq x_0 + h$$

SEÇÃO 14.2 EXTRAPOLAÇÃO DE RICHARDSON

A extrapolação de Richardson é um mecanismo simples e eficaz para gerar métodos numéricos de ordem superior a partir de métodos de ordem inferior. Dados dois métodos da mesma ordem, podemos explorar a relação entre seus termos de erro principais para eliminar tal termo.

$$f''(x_0) = \frac{1}{12h^2} (-f(x_0 - 2h) + 16f(x_0 - h) - 30f(x_0) + 16f(x_0 + h) - f(x_0 + 2h)) \\ + \frac{h^4}{90} f^{(vi)}(x_0) + O(h^6)$$

$$\text{erro: } e(h) = \frac{h^4}{90} f^{(vi)}(\xi), \quad x_0 - 2h \leq \xi \leq x_0 + 2h$$

SEÇÃO 14.3 - FÓRMULAS DERIVADAS DO POLINÔMIO INTERPOLADOR DE LAGRANGE

- esperamos obter fórmulas em termos de valores de $f(x_i)$

Considere a derivação de uma fórmula envolvendo os pontos x_0, x_1, \dots, x_n , não ordenados de nenhuma maneira particular. O polinômio interpolador de grau no máximo n é:

$$p(x) = \sum_{j=0}^n f(x_j) L_j(x)$$

no qual o polinômio de Lagrange é

$$L_j(x) = \frac{(x-x_0) \dots (x-x_{j-1})(x-x_{j+1}) \dots (x-x_n)}{(x_j-x_0) \dots (x_j-x_{j-1})(x_j-x_{j+1}) \dots (x_j-x_n)}$$

derivando de $p(x)$ e substituindo $x=x_0$, obtém-se a fórmula geral para diferenciação:

$$p'(x_0) = \sum_{j=0}^n f(x_j) L_j'(x_0)$$

essa fórmula não requer que os pontos x_0, x_1, \dots, x_n sejam equidistantes.

DIFERENCIAÇÃO USANDO PONTOS EQUIDISTANTES

Para obter expressões mais limpas, vamos assumir um espaçamento equidistante. Assim, suponha que os pontos x_i sejam distribuídos em torno de x_0 e dados como $x_0-lh, x_0-(l-1)h, \dots, x_0-h, x_0, x_0+h, \dots, x_0+uh$, onde l e u são inteiros não negativos e $n=l+u$. Há uma mudança óbvia no índice envolvido, de 0 para $-l$, porque queremos enfatizar que os pontos $x_i = x_0 + ih$ estão geralmente em ambos os lados de x_0 , onde buscamos aproximar $f'(x_0)$.

$$L_j'(x_0) = \frac{1}{jh} \prod_{\substack{k=-l \\ k \neq 0 \\ k \neq j}}^u \left(\frac{-k}{j-k} \right), \text{ para } j \neq 0 \quad a_j = h L_j'(x_0), \quad j = -l, \dots, u$$

$$p'(x_0) = h^{-1} \sum_{j=-l}^u a_j f(x_j)$$

$$\text{erro: } f'(x_0) - p_n'(x_0) = \left[\frac{f^{(n+1)}(\xi)}{(n+1)!} l!u! \right] h^n$$

$$\text{para } x-l \leq \xi \leq x+u$$

CAPÍTULO 15 - INTEGRAÇÃO NUMÉRICA

SEÇÃO 15.1 - REGRAS BÁSICAS DE QUADRATURA

As regras básicas de quadratura são baseadas na interpolação polinomial de baixo grau. Dada uma função $f(x)$ em um intervalo curto $[a, b]$, podemos escolher um conjunto de nós $x_0, x_1, \dots, x_n \in [a, b]$ e construir um interpolador polinomial $p_n(x)$. Disto segue-se que

$$\int_a^b p_n(x) dx \quad \text{aproxima} \quad \int_a^b f(x) dx$$

REGRAS BÁSICAS

Suponha que as abscissas x_0, x_1, \dots, x_n tenham sido especificadas de alguma forma. Então o polinômio interpolador na forma de Lagrange é:

$$p_n(x) = \sum_{j=0}^n f(x_j) L_j(x)$$

onde,

$$L_j(x) = \frac{(x-x_0) \cdots (x-x_{j-1})(x-x_{j+1}) \cdots (x-x_n)}{(x_j-x_0) \cdots (x_j-x_{j-1})(x_j-x_{j+1}) \cdots (x_j-x_n)} = \prod_{\substack{k=0 \\ k \neq j}}^n \frac{(x-x_k)}{(x_j-x_k)}$$

isso leva a

$$\int_a^b f(x) dx \approx \int_a^b p_n(x) dx = \int_a^b \sum_{j=0}^n f(x_j) L_j(x) dx = \sum_{j=0}^n f(x_j) \int_a^b L_j(x) dx$$

portanto

$$a_j = \int_a^b L_j(x) dx$$

REGRA DO TRAPÉZIO

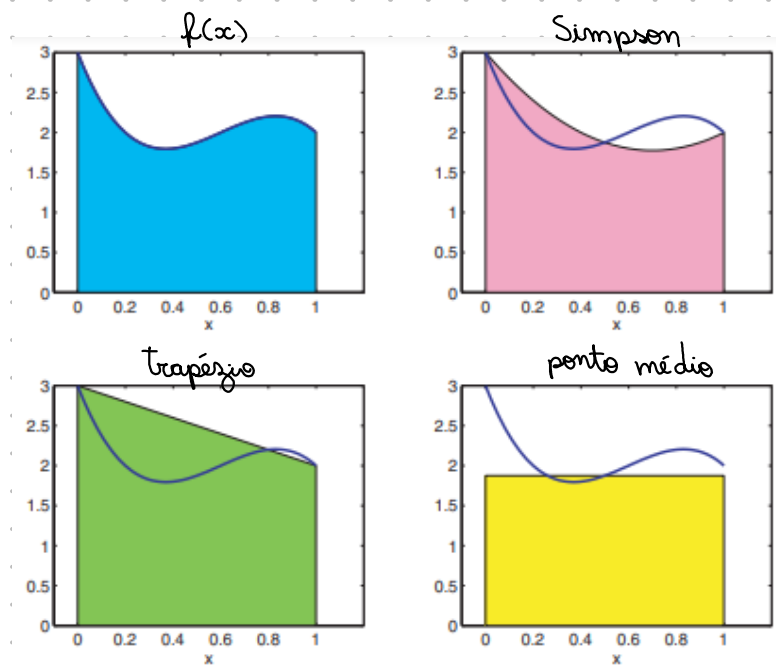
$$I_f \approx I_{\text{trap}} = \frac{b-a}{2} [f(a) + f(b)]$$

REGRA DE SIMPSON

$$I_f \approx I_{\text{simp}} = \frac{b-a}{6} \left[f(a) + 4f\left(\frac{b+a}{2}\right) + f(b) \right]$$

REGRA DO PONTO MÉDIO

$$I_f \approx I_{\text{mid}} = (b-a) f\left(\frac{a+b}{2}\right)$$



Quadrature	Rule	Error
Midpoint	$(b-a)f\left(\frac{a+b}{2}\right)$	$\frac{f''(\xi_1)}{24}(b-a)^3$
Trapezoidal	$\frac{b-a}{2}[f(a) + f(b)]$	$-\frac{f''(\xi_2)}{12}(b-a)^3$
Simpson	$\frac{b-a}{6}[f(a) + 4f\left(\frac{b+a}{2}\right) + f(b)]$	$-\frac{f'''(\xi_3)}{90}\left(\frac{b-a}{2}\right)^5$

SEÇÃO 15.2 - INTEGRAÇÃO NUMÉRICA COMPOSTA

Composite Quadrature Methods.

With $rh = b - a$, where r is a positive integer (must be even in the Simpson case), we have the formulas

$$\begin{aligned}
 \int_a^b f(x)dx &\approx \frac{h}{2} \left[f(a) + 2 \sum_{i=1}^{r-1} f(a+ih) + f(b) \right], \quad \text{trapezoidal} \\
 &\approx \frac{h}{3} \left[f(a) + 2 \sum_{k=1}^{r/2-1} f(t_{2k}) + 4 \sum_{k=1}^{r/2} f(t_{2k-1}) + f(b) \right], \quad \text{Simpson} \\
 &\approx h \sum_{i=1}^r f(a + (i-1/2)h), \quad \text{midpoint.}
 \end{aligned}$$

Theorem: Quadrature Errors.

Let f be sufficiently smooth on $[a, b]$, and consider a composite method using a mesh $a = t_0 < t_1 < \dots < t_r = b$ with $h_i = t_i - t_{i-1}$. Denote $h = \max_{1 \leq i \leq r} h_i$. In the case of the Simpson method assume that $h_{i+1} = h_i$ for all i odd.

Then the error in the composite trapezoidal method satisfies

$$|E(f)| \leq \frac{\|f''\|_{\infty}}{12}(b-a)h^2,$$

the error in the composite midpoint method satisfies

$$|E(f)| \leq \frac{\|f''\|_{\infty}}{24}(b-a)h^2,$$

and the error in the composite Simpson method satisfies

$$|E(f)| \leq \frac{\|f'''\|_{\infty}}{180}(b-a)h^4.$$